

Istruzioni per l'uso

Istruzioni per l'uso

HSV

205 South 600 West Logan, Utah 84323, U.S.A. – Tel. (800) 729-8350 – Tel. (435) 755-9848 – Fax (435) 755-0015 – www.scytek.com Revisione 1, 18/11/2024

(1 goccia = ~40µl)

Si consiglia di preparare almeno 1 ml di soluzione di lavoro per vetrino se si colora su vetrini orizzontali perché la soluzione è alcolica e più suscettibile all'evaporazione.

Soluzione di ematossilina (5%)

Descrizione e principio

La soluzione di ematossilina (5%) è un componente del kit di colorazione elastica (Verhoeff modificato). L'ematossilina viene utilizzata in una soluzione di lavoro con cloruro ferrico e iodio per dimostrare l'elastina in sezioni di tessuto.

Risultati attesi

Fibre elastiche:	Da nero a blu/nero
Nuclei:	Dal blu al nero
Collagene:	Rosso
Muscolo e altro:	Giallo

Contenuto del kit (Cat# ETS-1)

Immagazzinamento

Reagenti aggiuntivi per kit venduti separatamente

1. Soluzione di ematossilina (5%)	18-25°C
2. Cloruro ferrico (10%, acquoso)	18-25°C
3. Soluzione di iodio	18-25°C
4. Soluzione differenziante di cloruro ferrico (2%)	18-25°C
5. Soluzione di tiosolfato di sodio (5%)	18-25°C
6. La soluzione di Van Gieson	18-25°C

Controlli suggeriti (non forniti)

Polmone o qualsiasi tessuto vascolare.

Usi/Limitazioni

Solo per uso diagnostico in vitro.

Non utilizzare la data di scadenza precedente.

Prestare attenzione quando si maneggiano i reagenti.

Non sterile

Destinato a sezioni FFPE tagliate a 5-10µm.

Questa procedura non è stata ottimizzata per le sezioni congelate.

Le sezioni bloccate potrebbero richiedere una modifica del protocollo.

Immagazzinamento

Conservare il kit e tutti i componenti a temperatura ambiente (18-25°C).

Sicurezza e precauzioni

Si prega di consultare le schede di sicurezza (SDS) aggiornate per questo prodotto e componenti Classificazione GHS, pittogrammi e dichiarazioni complete di pericolo/precauzione.

Preparazione dei reagenti prima dell'inizio:

1. Preparazione **Soluzione elastica funzionante per macchie**
Mescolando:

2 parti di Soluzione di ematossilina (5%)

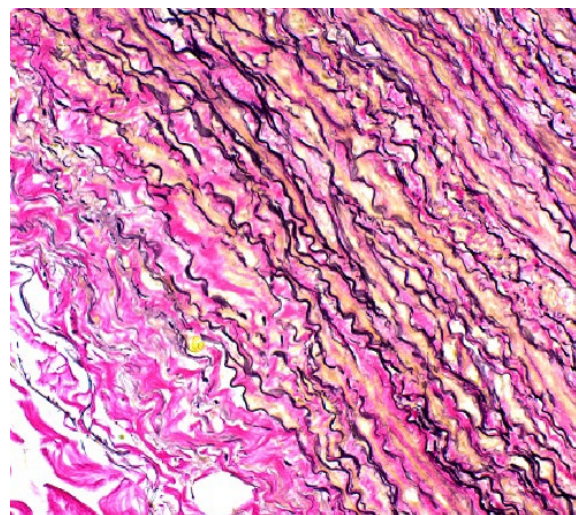
1 parte Soluzione di cloruro ferrico (10%)

1 parte Soluzione di iodio di Lugol.

(La soluzione miscelata può essere utilizzata per 24 ore)

Esempio: 2 ml di soluzione di ematossilina, 1 ml di cloruro ferrico, 1 ml di iodio di Lugol.

Esempio (contagocce): utilizzare una fiala di miscelazione graduata in dotazione - 14 gocce (560 µl) + 7 gocce (280 µl) + 7 gocce (280 µl) Totale: 1120 µl o 1,12 ml



Elastic fibers on Aorta demonstrated at using Elastic Stain Kit (Modified Verhoeff's) Magnification 200X

2. Nota: la soluzione di iodio di Lugol causerà la colorazione di tutte le fiale e le etichette del kit nel tempo. Ciò non influisce negativamente sulle prestazioni di questo prodotto ed è di natura meramente cosmetica.

3. Nota: la rimozione dei depositi di mercurio non è richiesta per i tessuti che sono stati fissati in fissativi contenenti mercurio poiché verranno rimossi dalla soluzione colorante.

Procedimento

1. Deparaffinare le sezioni se necessario e idratarle in acqua distillata.

2. Colorare la sezione di tessuto con la soluzione elastica per coloranti funzionante per 15 minuti.

3. Sciacquare con acqua corrente del rubinetto fino a quando non rimangono macchie in eccesso sul vetrino.

4. Immergere i vetrini nella soluzione differenziante di cloruro ferrico (2%) 10-20 volte e sciacquare con acqua di rubinetto.

5. Controllare i vetrini al microscopio per verificarne la corretta differenziazione. Ripetere il passaggio 4 se necessario.


6. Sciacquare con acqua corrente del rubinetto.

7. Posizionare i vetrini nella soluzione di tiosolfato di sodio (5%) per 1 minuto.

8. Sciacquare con acqua di rubinetto per 2 minuti seguiti da 2 cambi in acqua distillata.
9. Colorare il vetrino utilizzando la soluzione di Van Gieson per 2 minuti.
10. Risciacquare in due cambi di alcol al 95%.
11. Disidratare in alcol assoluto.
12. Trasparente e montare in resina sintetica.

Referenze

1. Oh, S.; Rho, N.-K.; Byun, K.-A.; Yang, J.Y.; Sole, H.J.; Jang, M.; Kang, D.; Figlio, K.H.; Byun, K. Il trattamento combinato della radiofrequenza monopolare e bipolare aumenta l'elasticità della pelle diminuendo l'accumulo di prodotti finali glicati avanzati nella pelle di animali invecchiati. *Sci.* 2022, 23, 2993.
<https://doi.org/10.3390/ijms23062993>
2. Kim, H.M.; Byun, K.-A.; Oh, S.; Yang, J.Y.; Parco, H.J.; Chung, M.S.; Figlio, K.H.; Byun, K. Una miscela di forme topiche di polidesossiribonucleotide, vitamina C e niacinamide ha attenuato la pigmentazione cutanea e aumentato l'elasticità della pelle modulando il fattore nucleare eritroide 2-like 2. *Molecole* 2022, 27, 1276.
<https://doi.org/10.3390/molecules27041276>
3. Shimazu Y, Zhang B, Yue Z, Wallace GG, Fukuda J. Ingegneria di strutture vascolari a doppio strato perfusibili utilizzando la contrazione di idrogel incorporato in sferoidi e il distacco elettrochimico delle cellule. *Giornale di bioscienze e bioingegneria.* 1 gennaio 2019; 127(1):114-20.
4. Hanna M, Muller-Delp JM, Vinogradova OL, Delp MD, Behnke BJ, Stabley JN, McCullough DJ, Maraj JJ, Sofronova SI, Tarasova OS, Gaynullina D. Il volo spaziale sul biosatellite Bion-M1 altera il cerebrale. *J Appl Physiol.* 2015;118:830-8.
5. L. Venkataraman, B. Sivaraman, P. Vaidya e A. Ramamurthi, "Consegna di nanoparticelle di agenti per l'elastogenesi indotta in matrici collagene tridimensionali", *Journal of Tissue Engineering and Regenerative Medicine*, aprile 2014.
6. H. M. Kim, Y. Y. Lim, M. Y. Kim, I. P. Son, D. H. Kim, S. R. Park, S. K. Seo, M. S. Lee, S.-K. Mun, C. W. Kim e B. J. Kim, "Effetto inibitorio della tianeptina sull'induzione del catagen nelle lesioni simili all'alopecia areata indotte dallo stress delle onde ultrasoniche nei topi", *Clinical and Experimental Dermatology*, vol. 38, n. 7, pp. 758-767, ottobre 2013.
7. H.-J. Harn, M.-H. Huang, C.-T. Huang, P.-C. Lin, S.-Y. Yen, Y.-W. Chou, T.-J. Ho, H.-Y. Chu, T.-W. Chiou e S.-Z. Lin, "Ringiovanimento della pelle del viso di maiale invecchiato mediante trapianto di fattori stimolanti le colonie di granulociti allogenici 8. Cellule staminali del sangue di un giovane maiale", *Cell Transplantation*, vol. 22, n. 4, pp. 755-765, aprile 2013.
9. Vass, DG, et al. Il valore di una colorazione elastica del tessuto nel rilevare l'invasione venosa nel cancro del colon-retto. *Giornale di patologia clinica*, luglio; 57(7); pagine 769-772, 2004.
10. Profeta, E.B., et al. A.F.I.P. *Metodi di Laboratorio in Istotecnologia.* Pagina 134, 1994.
11. Carson, F.L., *Istotecnologia: un testo autodidattico*, ASCP Press, Chicago, IL. Pagine 138-139, 1990.
12. O'Connor, W.N., Valle, S., Una combinazione dell'elastico di Verhoff e della macchia tricromica di Masson per l'istologia di routine. *Stain Technology*, luglio 1982; 57(4); pagine 207-210.
13. Sheenan, D.C., Hrapchak, B.B. *Teoria e pratica dell'istotecnologia*, 2a edizione. CV Mosby, St. Louis, MO. Pagine 196-197, 1980.
14. Mallory, F.B. *Tecnica patologica*, 3a edizione. Hafner Publishers, New York. Pagina 169, 1968.

 ScyTek Laboratories, Inc.
205 South 600 West
Logan, UT 84321
U.S.A.

Emergo Europe
Westervoortsedijk 60
6827 AT Arnhem, The Netherlands